Perfluormethyl-Element-Liganden. XVII [1]

Adduktbildung von $Me_nE(CF_3)_{3-n}$ -Liganden mit BX_3 -Verbindungen (Me = CH_3 ; E = P, As, Sb; n = 0-3; X = H, CH_3 , Hal)

Von J. Apel und J. Grobe

Darmstadt, Eduard-Zintl-Institut der Technischen Hochschule

Inhaltsübersicht. Die Liganden $Me_nE(CF_3)_{3-n}$ ($Me = CH_3$; E = P, As, Sb; n = 0-3) werden (z. T. nach neuen Methoden) dargestellt und NMR-spektroskopisch (${}^{1}H$, ${}^{19}F$, ${}^{31}P$, ${}^{13}C$) untersucht. Zur Ableitung ihrer relativen Donorstärke werden sie mit den Lewis-Säuren "BH3", BMe3, Me_2BBr und BX_3 (X = F, Cl, Br) umgesetzt. Die Kontrolle der Adduktbildung erfolgt durch ${}^{1}H$ - und ${}^{19}F$ -Kernresonanzspektrometrie. Es ergeben sich folgende Reihen abnehmender Basizität bzw. Acidität:

$$\begin{split} EMe_3 > & Me_2ECF_3 > MeE(CF_3)_2 > E(CF_3)_3; \ P > As > Sb \ bzw. \\ \text{,,BH}_3`` > & BBr_3 > BCl_3 > BF_3 > Me_2BBr > BMe_3. \end{split}$$

Perfluoromethyl-Element-Ligands. XVII. Formation of Adducts of $Me_nE(CF_3)_{3-n}$ Ligands with BX₃ Compounds (Me = CH_3 ; E = P, As, Sb; n = 0-3; X = H, CH_3 , Hal)

Abstract. The ligands $Me_nE(CF_3)_{3-n}$ (Me = CH_3 ; E = P, As, Sb; n = 0-3) have been prepared (partly using new methods) and studied by n.m.r. spectroscopy (1H , ${}^{19}F$, ${}^{31}P$, ${}^{13}C$). In order to deduce their relative donor strength their reactions with the Lewis acids " BH_3 ", BMe_3 , Me_2BBr , and BX_3 (X = F, Cl, Br) have been studied. Control of adduct formation occurs by n.m.r. spectroscopy (1H , ${}^{19}F$). The following series of decreasing basicity or acidity are obtained:

$$EMe_3 > Me_2ECF_3 > MeE(CF_3)_2 > E(CF_3)_3; P > As > Sb;$$

"BH₃" > BBr₃ > BCl₃ > BF₃ > Me₂BBr > BMe₃.

Einleitung

Die Beschreibung der M—E-Verknüpfung (E = P, As, S, Se) in Übergangsmetallearbonylverbindungen als Kombination aus $E \to M \sigma$ -Donor- und $M \to E \pi$ -Rückbindung erweist sich nach unseren Arbeiten über $(CF_3)_nE-M(CO)_m$ -Komplexe [2—5] als nützliches Modell. In der Literatur beschriebene Versuche [6—8], auf der Basis einfacher MO-Betrachtungen σ - und π -Bindungsanteile zu berechnen, konnten nicht restlos befriedigen. Eine Möglichkeit, zur Lösung dieses Problems beizutragen, sehen wir im Vergleich spektroskopischer Parameter für die Liganden $Me_nE(CF_3)_{3-n}$ (E = P, As, Sb) in drei verschiedenen Bindungssituationen:

- a) ohne Koordination als freie Liganden,
- b) in $\mathrm{BX_3}$ -Addukten, in denen nur die σ -Donorfunktion von Bedeutung sein kann,

c) in $M(CO)_5L$ - bzw. $M(CO)_4L_2$ -Komplexen, bei denen der σ -Donorbindung π -Akzeptorwechselwirkungen überlagert sein sollten.

In der vorliegenden Arbeit wird über die Adduktbildung der Liganden mit Lewis-Säuren BX_3 berichtet.

Darstellung und Untersuchung der Addukte Me_nE(CF₃)_{3-n}/BX₃

Von den zahlreichen Möglichkeiten [9—11] zur Charakterisierung von Säure/Base-Gleichgewichten kommt hier ausschließlich die Kernresonanzmethode zur Anwendung. Besondere Probleme treten bei der Untersuchung wegen der geringen Löslichkeit eines Teils der Addukte in den für die NMR-Messung geeigneten Lösungsmitteln auf. In solchen Fällen ist dem Säure/Basé-Gleichgewicht ein Löslichkeitsgleichgewicht überlagert. Diese Tatsache schränkt den Informationsgehalt der Ergebnisse auf qualitative Aussagen ein.

Als Lösungsmittel diente in der Regel Benzol; für Tieftemperaturmessungen kamen Toluol bzw. Deuterochloroform zur Anwendung. Für die Untersuchung wurden definierte Mengen der beiden Reaktionspartner zusammen mit dem Lösungsmittel an einer Hochvakuumapparatur in NMR-Röhrchen einkondensiert. Als interne Standardsubstanzen wurden TMS und CCl₃F eingebracht, die Röhrchen abgeschmolzen und auf Raumtemperatur erwärmt. In vielen Fällen gibt sich dabei die Adduktbildung durch die Abscheidung eines weißen Feststoffes zu erkennen.

Tabelle 1	NMR-Daten der freien	Phosphane MenP(CF ₃) _{3-r}	und der	Addukte mit	BX ₃ -Verbindungen
-----------	----------------------	---	---------	-------------	-------------------------------

Base	Säure	Verhältnis Base/Säure	δ _H (PCH ₃) (ppm)	² J(PH) ^b) (Hz)	Φ _F (ppm)	² J(PF) ^b) (Hz)	Bemerkungen	
PMe ₈	_	_	0,8	2,6	_	_	freie Base	
PMe ₃	BH_3	1	0,7	10,6		_	Weißer Feststoff	
PMe,	BH_3	1,43	0.8a)/0.7	2,68)/10,6	_	-	Weißer Feststoff	
PMe ₃	$\mathbf{BH_8}$	2	0.8a)/0.7	2,6a)/10,6	_	_	Weißer Feststoff	
PMe ₃	BMe_3	1	0,63	6,6	_		Weißer Feststoff	
PMe _s	Me_2BBr	1	0,65	10,5	_	-	Weißer Feststoff	
PMe ₃	BF ₃	1	0,65	8,0		_	Weißer Feststoff	
PMe ₃	BCI ₃	1	_		_		Feststoff wenig löslich in	
PMe ₃	BBr_3	1	-	_		-	Benzol, daher keine Signale	
Me ₂ PCF ₃		-	0,9	3,2	63,8	64,3	freie Base	
Me ₂ PCF ₃	BH_3	1	0,7	9,6	68,6	65,4	keine Feststoffbildung	
Me ₂ PCF ₃	BH_3	2	$0.9^{a})/0.7$	3,2a)/10,2	63,88)/68,4	64,3a)/65,4	keine Feststoffbildung	
Me ₂ PCF ₃	$\mathbf{BMe_{s}}$	1	0,9	3,2	63,8	64,3	keine Adduktbildung	
Me ₂ PCF ₃	Me_2BBr	1	1,2	10,5	62,2	56,4	keine Feststoffbildung	
Me ₃ PCF ₈	BF_3	1	1,1	8,0	64,8	67, 0	keine Feststoffbildung	
Me ₂ PCF ₃	BCl ₃	1	1,2	12,1	60,4	66,6	weißer Feststoff	
Me_PCF3	BBr ₃	1	1,9	13,6	59,6	64,3	weißer Feststoff	
MeP(CF _a) _a	_	_	1,0	4,4	56,9	74,5	freie Base	
MeP(CF ₃) ₂	BH_3	1	1,7	10,4	62,8	75,6	keine Feststoffbildung	
MeP(CF ₃) ₂	$\mathbf{B}\mathbf{X}_{3}$	1	1,0	4,4	56,9	74,5	für X = Me, F, Cl, B keine Veränderung der NMR-Daten: keine Addukte	
P(CF ₃) ₃			_	_	51,0	85,0	freie Base	
P(CF ₃) ₃	BX ₈	1	د	-	51,0	85,0	für X = H, Me, F, Cl, B keine Veränderung der NMR-Daten: kein Addukt	

a) freie Base; Lösungsmittel: Benzol; ¹H-Resonanz gegen TMS und ¹F-Resonanzen gegen CCl₅F als interne Standardsubstanzen. ^b) Kopplungskonstanten als Absolutwerte

Die Ergebnisse der ¹H- und ¹⁹F-NMR-Messungen sind in Tab. 1 den Daten der freien Liganden gegenübergestellt. Aus den Angaben ist ersichtlich, daß MPe₃ mit allen eingesetzten Lewis-Säuren BX₃-Addukte bildet. Generell wird hier die Ausscheidung weißer Feststoffe beobachtet. Die Änderung der chemischen Verschiebung und die Erhöhung der Kopplungskonstanten ²J(PH) bis auf Beträge >10 Hz zeigen einen Wechsel der chemischen Umgebung am ³¹P-Kern an und sind gleichfalls als Nachweis der Adduktbildung zu werten.

Große Meßprobleme ergeben sich infolge geringer Löslichkeit für die Säure/Base-Kombinationen mit BCl₃ und BBr₃. Die Löslichkeit ihrer Addukte mit PMe₃ ist so gering, daß sie für den NMR-spektroskopischen Nachweis nicht ausreicht. Bei ausreichender Löslichkeit der Addukte beeinträchtigt der Feststoff die Homogenität und damit die Qualität der Spektren.

In allen Fällen der Adduktbildung werden 1:1-Kombinationen nachgewiesen. Bei Verwendung eines Phosphanüberschusses werden neben den Signalen des Addukts die Resonanzen des freien Phosphans beobachtet. Voraussetzung dafür sind allerdings hohe Stabilität des Addukts und geringe Austauschgeschwindigkeit. Für das System PMe₃/BF₃ ist der Austausch nach Gl. (1), wie in einer früheren Untersuchung [12] nachgewiesen wurde,

$$Me_3P \rightarrow BF_3 + *PMe_3 \rightleftharpoons Me_3P* \rightarrow BF_3 + PMe_3$$
 (1)

bei allen Mischungsverhältnissen Säure/Base zwischen 0,3 und 0,9 so rasch, daß als Resonanz für die Methylprotonen ein gemitteltes Signal registriert wird. Dieses Phänomen wurde in der vorliegenden Arbeit nicht in allen Einzelfällen untersucht. Es ist daher anzunehmen, daß in Systemen, bei denen die Adduktbildung nicht mit der Ausscheidung von Feststoffen verbunden ist, die Daten des Säure/Base-Gleichgewichts (2) und nicht die Werte für das undissoziierte Addukt ermittelt werden.

$$PR_3 + BX_3 \rightleftharpoons R_3P \to BX_3. \tag{2}$$

In dem System BH₃/PMe₃ wurde das Verhältnis der beiden Komponenten zwischen 2,0 und 0 variiert. Für alle Verhältnisse $BH_3/PMe_3 < 1$ tritt neben der Resonanz des Addukts $[\delta_{\rm H}=0.7~{\rm ppm}\,;\,|^2{\rm J(PH)}|=10.6~{\rm Hz}]$ das Signal für das freie PMe₃ [$\delta_{\rm H}=0.8~{\rm ppm}$; $|{}^2{\rm J(PH)}|=2.6~{\rm Hz}]$ auf. Dies ist am Beispiel BH₃/ PMe₃ = 0,7 in Abb. 1 dargestellt. Es fällt auf, daß die Dublettsignale für das Addukt wesentlich breiter sind (Halbwertsbreite ~2,8 Hz) als die des freien Phosphans. Grund dafür dürfte die Wechselwirkung mit den Quadrupolmomenten der Säurezentren¹⁰B und ¹¹B sein. Die scharfen Signale des PMe₃ beweisen, daß der Austausch entsprechend Gl. (1) bei der Meßtemperatur von 33°C im Rahmen der NMR-Zeitskala sehr langsam erfolgt. Abb. 2 zeigt am Beispiel der Kombination PMe₃/BH₃ = 2:1, wie sich das Gleichgewicht mit steigender Temperatur ändert. Schon bei 50°C ist die Austauschgeschwindigkeit so groß, daß die kleinere ²J(PH)-Kopplung des freien Phosphans nicht mehr aufgelöst wird. Anstelle des Dubletts aus scharfen Linien wird ein Signal mit einer Halbwertsbreite von ~2,3 Hz beobachtet. Das Protonensignal des Addukts zeigt unter den gleichen Bedingungen noch keine signifikante Änderung der Kopplungskonstante. Bei +78°C fällt die Resonanz des freien PMe₃ mit dem bei tieferem Feld liegenden

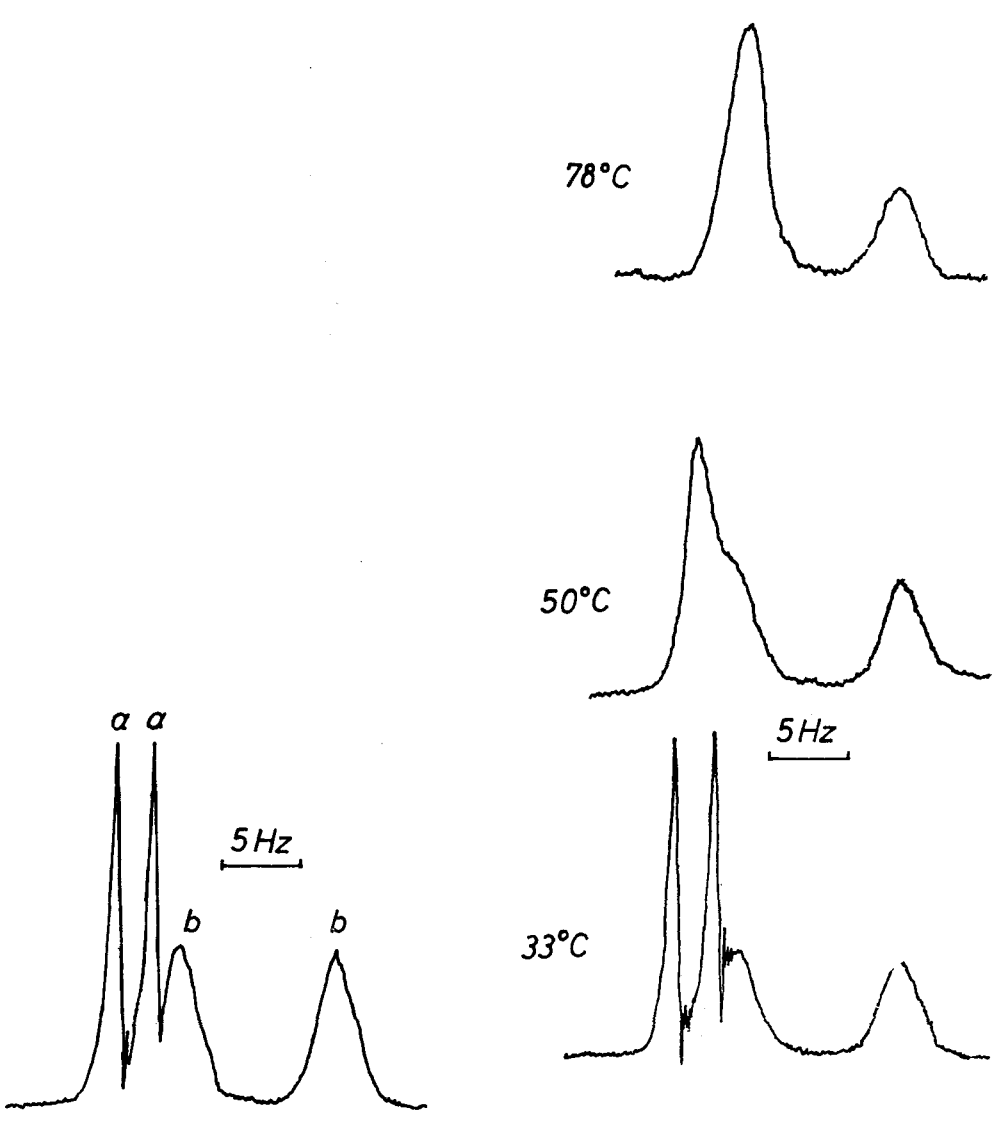


Abb. 1 BH₃/PMe₃-Addukt (Verhältnis 0,7) a = freies PMe₃; b = koordiniertes PMe₃

Abb. 2 Temperaturabhängigkeit des Protonenresonanzspektrums der Säure/Base-Kombination; $PMe_3/BH_3=2:1$

Dublettsignal des Addukts zusammen. Gleichzeitig verringert sich die $|^2J(PH)|$ -Kopplung für das Addukt auf \sim 9,7 Hz. Die Tatsache, daß selbst bei $+78\,^{\circ}$ C noch keine Ausmittelung der Resonanzen von freiem und koordiniertem Phosphan erfolgt, bestätigt die auch von anderen Autoren [13] nachgewiesene hohe Stabilität des Addukts. Erst bei erheblich höheren Temperaturen ist für dieses System — ähnlich wie für BF₃/PMe₃ [12] bei Raumtemperatur — die Koaleszenz der Signale infolge eines genügend raschen Austausches zu erwarten.

Die Untersuchung der Systeme Me_2PCF_3/BX_3 (Tab. 1) ergibt für alle X außer $X=CH_3$ Säure/Base-Wechselwirkungen. Das Ausbleiben der Adduktbildung für BMe_3 kann kaum auf sterische Einflüsse zurückgeführt werden, da PMe_3 und BMe_3 sich zu einem stabilen Addukt verbinden. Für den Befund sind dann zwei Beiträge verantwortlich zu machen:

- die Abschwächung der Basizität durch die CF₃-Gruppe am Phosphor,
- die geringe Lewis-Acidität des BMe₃ infolge des + I-Effekts der Methylsubstituenten.

Diese Deutung wird durch die Tatsache gestützt, daß der Ersatz einer Methylgruppe durch den elektronenziehenden Substituenten Brom zur Adduktbildung zwischen Me_2PCF_3 und Me_2BBr ausreicht. In der Reihe der Additionsverbindungen $\text{Me}_2\text{PCF}_3 \cdot \text{BX}_3$ resultiert mit abnehmender Elektronegativität der Substituenten am Boratom eine Tieffeldverschiebung der Protonenresonanz; die chemische Verschiebung folgt damit der Zunahme der Säurestärke: $\text{BF}_3 < \text{BCl}_3 < \text{BBr}_3$. Ähnliche Resultate wurden von Coyle und Stone [14] für Amin-Addukte erhalten.

Bei der Umsetzung von $MeP(CF_3)_2$ mit den verschiedenen Säuren BX_3 wird nur nech für "BH₃" eine Adduktbildung beobachtet $[\delta_H = 1.7 \text{ ppm}; |^2J(PH)| = 10.4 \text{ Hz}; \Phi_F = 62.8 \text{ ppm}; |^2J(PF)| = 75.6 \text{ Hz}]$. In allen anderen Fällen liegen die Ausgangskomponenten unverändert nebeneinander vor. Auch bei Tieftemperaturmessungen in $CDCl_3$ als Lösungsmittel bei 0°C, -20°C, -40°C und -60°C ergeben sich keine Änderungen der NMR-Daten, die auf Säure/Base-Wechselwirkungen hinweisen würden. Die besondere Qualität des "BH₃" als Lewis-Säure wird in der Literatur einerseits durch das "Boran-Hyperkonjugations-Modell" [15], andererseits auf der Grundlage des Konzepts der harten und weichen Säuren und Basen [16] erklärt.

Die drastische Abnahme der basischen Eigenschaften des Phosphans mit zunehmender Substitution von Methyl- durch Perfluormethylgruppen führt beim $P(CF_3)_3$ mit keiner der Lewis-Säuren mehr zur Bildung von Addukten. Selbst die Kombination aus $P(CF_3)_3$ und "BH₃" zeigt bei Tieftemperaturmessungen bis $-78\,^{\circ}$ C nur die Resonanzen des freien Phosphans. Dieser Befund wird durch Dampfdruckmessungen zwischen -126 und $-23\,^{\circ}$ C bestätigt und ist von besonderem Interesse im Vergleich zu CO und PF₃, für die bei der Umsetzung mit B_2H_6 Adduktbildung nachgewiesen wurde [17]. Das Donorvermögen dieser Basen steigt also in der Reihe $P(CF_3)_3 < PF_3 < CO$ an.

Aus den Untersuchungen lassen sich qualitative Aussagen über die Aciditätsund Basizitätsabstufung der verwendeten Verbindungen ableiten:

 $\label{eq:aciditat} \text{Aciditat:} \qquad \text{BMe}_3 < \text{Me}_2 \text{BBr} < \text{BF}_3 < \text{BCl}_3 < \text{BBr}_3 < \text{BH}_3$

 $\text{Basizit\"{a}t:} \quad \text{PMe}_3 > \text{Me}_2 \text{PCF}_3 > \text{MeP(CF}_3)_2 > \text{P(CF}_3)_3.$

Untersuchung der Säure/Base-Systeme $Me_nE(CF_3)_{3-n}/BH_3$ (E = As, Sb)

Der Substituenteneinfluß auf das Donorvermögen der Lewis-Basen wurde eingehend bei den Phosphan-Derivaten studiert. Um die Adduktbildung als Funktion

Base	Säure	Molverhältnis	δ _H (ppm)	Φ _F (ppm)	Bemerkungen a)
AsMe _s	_	_	1,1	_	Reinsubstanz
AsMe ₃	BH_3	1:1	0,7	_	weißer Feststoff
Me ₂ AsCF ₃	-		1,4	57,6	Reinsubstanz
Me_2AsCF_3	BH_3	1:1	0,8	57,0	weißer Feststoff
MeAs(CF ₃) ₂	_		1,7	52,8	Reinsubstanz
$MeAs(CF_3)_2$	BH_3	1:1	0,8	52,0	klare Lösung
As(CF ₈) ₃	_		-	45,4	Reinsubstanz
As(CF ₃) ₃	BH_3	1:1		45,4	klare Lösung
SbMe ₃		_	1,1		Reinsubstanz
SbMe ₃	$\mathbf{BH_3}$	1:1	1,1		klare Lösung
Me_2SbCF_3	_	_	1,4	46,6	Reinsubstanz
$MeSb(CF_3)_2$	_		1,8	43,6	Reinsubstanz
Sb(CF ₃) ₃	_	_	_	39,4	Reinsubstanz

Tabelle 2 NMR-Daten der Addukte aus MenE(CF₃)_{3-n}/BH₃ (E = As, Sb)

des Donoratoms zu untersuchen, werden die Kombinationen der Arsan- und Stibanverbindungen $Me_nE(CF_3)_{3-n}$ mit B_2H_6 überprüft. Dazu werden äquimolare Mengen $Me_nE(CF_3)_{3-n}$ und "BH₃" in benzolischer Lösung in NMR-Röhrchen zur Reaktion gebracht. Die Ergebnisse der ¹H- und ¹⁹F-Messungen sind in Tab. 2 zusammengefaßt, aus der sich folgende Gesetzmäßigkeiten ableiten lassen:

- 1. Säure/Base-Wechselwirkungen werden für die Systeme AsMe₃/BH₃ und Me₂AsCF₃/BH₃ durch Feststoffbildung und Änderung der NMR-Daten angezeigt.
- 2. Für die Kombination $MeAs(CF_3)_2/BH_3$ ergibt sich ein Hinweis auf das Addukt-Gleichgewicht nur aus der Änderung der Kernresonanzparameter.
- 3. Die Existenz einer Additionsverbindung (CF₃)₃As \rightarrow BH₃ ist auszuschließen.
- 4. Im Fall der Antimonverbindungen ist schon für das Trimethylderivat keine Donor-Akzeptor-Wechselwirkung mit " $\mathrm{BH_3}$ " nachweisbar.

Die Ergebnisse der Detailuntersuchungen an der Reihe der Phosphorverbindungen lassen sich also verallgemeinern; für die Abstufung der Basizität gilt:

$$\mathrm{EMe_3} > \mathrm{Me_2ECF_3} > \mathrm{MeE(CF_3)_2} > \mathrm{E(CF_3)_3}; \ \mathrm{P} > \mathrm{As} > \mathrm{Sb}.$$

Kernresonanz-Daten der Liganden Me_nE(CF₃)_{3-n}

Die im Rahmen der vorliegenden Arbeit benötigten Liganden waren nur zum Teil NMR-spektrometrisch untersucht. Da vor allem die Phosphorverbindungen präparativ nur schwer zugänglich sind (s. Exp. Teil), wurden die Meßmöglichkeiten zur Ermittlung der ¹H-, ¹⁹F-, ³¹P- und ¹³C-Kernresonanzdaten genutzt. Die Ergebnisse der Protonen- und Fluorresonanzmessungen sind in Tab. 1 und 2 zusammen mit den Daten von Addukten wiedergegeben; die ³¹P- und ¹³C-Daten sind in Tab. 3 zusammengefaßt. Die Werte werden hier zusammen mit Literaturergebnissen [18] diskutiert.

Die Protonenspektren der Phosphorverbindungen PMe₃, Me₂PCF₃ und MeP(CF₃)₂ bestehen aus Dublettsignalen, die der analogen As- und Sb-Verbin-

a) Lösungsmittel: Benzol; ¹H-Resonanz mit TMS, ¹⁹F-Resonanz mit CCl₃F als innerem Standard.

dungen aus Singuletts. Die Signale erfahren bei zunehmendem Ersatz von CH₃ durch CF₃ eine Tieffeldverschiebung um 0,2 bis 0,7 ppm. Dies läßt sich durch die zunehmende Polarisierung der Bindungselektronen durch die elektronegativen CF₃-Gruppen erklären. δ (CH₃) steigt mit der Zahl der CF₃-Substituenten nahezu linear an. Bei den Phosphorverbindungen ist der Austausch von CH₃- gegen CF₃-Gruppen außerdem mit einer Zunahme der ²J(PH)-Kopplungskonstante verbunden. Zur Deutung läßt sich hier die Interpretation von Bent [19, 20, 21] heranziehen, wonach bei gemischt substituierten Phosphanen XPZ₂, X₂PZ oder XPYZ das Verhältnis des s- und p-Anteils an den Bindungshybriden variiert, und zwar werden elektronegative Substituenten durch ein p-reicheres Orbital des zentralen P-Atoms gebunden. Als Konsequenz erhöht sich der s-Charakter in den übrigen Orbitalen und führt bei der hier untersuchten Reihe zu einem Anstieg der ²J(PH)-Kopplungskonstante von 2,6 Hz für PMe₃ auf 4,4 Hz für MeP(CF₃)₂.

Tabelle 3 $^{31}P^{-a}$) und $^{13}C^{-b}$)NMR-Daten von $Me_nP(CF_3)_{3-n}$ -Verbindungen im Vergleich mit Literaturwerten

Verbindung	$\mathrm{MeP}(\mathrm{CF_3})_2$	$\mathrm{HP}(\mathrm{CF_3)_2}^\mathrm{c})$	ClP(CF ₃) ₂	$\mathrm{Me_2PCF_3}$	$ ext{Cl}_2 ext{P}(ext{CF}_3)$	P(CF ₃) ₃
$\delta_{\rm p}$ [ppm]	6,0	49,6	-51,2	26,5	-131	2,5
2 J(PF) [Hz]	75,7	69,4	87	64,8	79,5	85,0
2 J(PH) [Hz]	4,4	216 [¹J(PH)]		3,2	_	annum .
$\delta_{\rm C}$ [ppm]	129,3	127,0	125,9	133,0	126,2	125,7
0 - 1 - 1	$0.7 \; (CH_3)$			$7.3 (\mathrm{CH_3})$		
¹ J(CF) [Hz]	317,5	314	320,1	318,2	323,0	318,0
1 J(CP) [Hz]	22,2	13,6	35,5	32,5	60,5	10,7
, ,,,	$16.3 (H_3 CP)$			$13.8 (\mathrm{H_3CP})$		
¹ J (CH) [Hz]	133,8			130,0		_
³ J(CF) [Hz]	6,2	6,3	5,8		_	5,4
(/ []	3,7 (H ₃ CPCF ₃)		•	3,9 (H ₃ CPCF ₃	.)	
$^3\mathrm{J(CH)}[\mathrm{Hz}]$	6,2 (F ₃ CPCH ₃)			6,2 (F ₃ CPCH ₃ 4,0 (H ₃ CPCH) —	encomme

^a) $\delta_{\rm P}$ rel. zu 85% iger ${\rm H_3PO_4}$ als äußerem Standard; positive Werte zu höherem Feld

Die ¹⁹F-Resonanzspektren der Phosphorverbindungen zeigen die erwartete Dublettstruktur, die der As- und Sb-Verbindungen einfache Singulettsignale. Die Φ_F -Werte fallen mit steigender Zahl der CF₃-Gruppen von 63,8 (57,6; 46,6) ppm für Me₂PCF₃ (As, Sb) auf 51,0 (45,4; 39,4) ppm für P(CF₃)₃ (As, Sb) ab. In gleicher Richtung steigen die ²J(PF)-Kopplungskonstanten von 64,3 auf 85,0 Hz etwa linear an.

Die ³¹P-NMR-Spektren sind wegen der Kopplung mit den ¹H- und ¹⁹F-Kernen wesentlich komplizierter, lassen sich aber generell als Spektren 1. Ordnung interpretieren. Abb. 3 zeigt exemplarisch das Spektrum des Me₂PCF₃. Mit zunehmender Zahl von CF₃-Substituenten wird in Übereinstimmung mit Literatur-

b) $\delta_{\rm C}$ rel. zu TMS als innerem Standard; positive Werte zu niederem Feld

c) Daten aus Literatur [18]

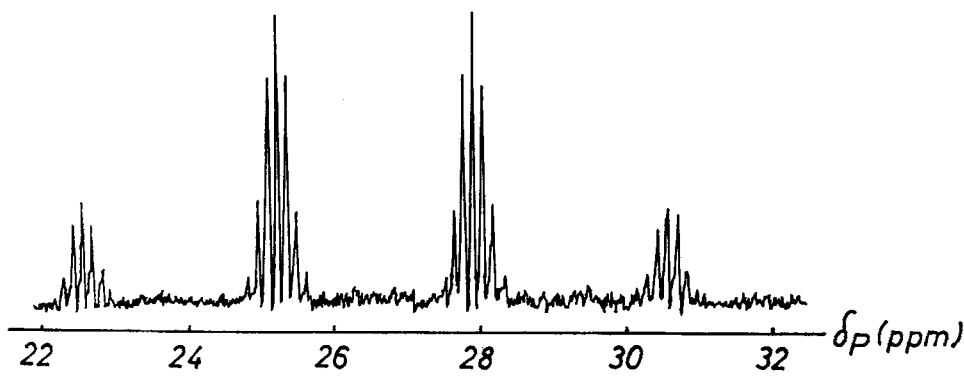


Abb. 3 ³¹P-Spektrum des Phosphans Me₂PCF₃

angaben [18] eine Tieffeldverschiebung des Resonanzsignals beobachtet, wobei die Einführung der ersten CF_3 -Gruppe den stärksten Effekt auf δ_P zeigt. Als Grund für die beobachtete Verschiebung der Resonanzen kommen vornehmlich induktive Effekte (+I für CH_3 , -I für CF_3) in Frage, da die C-P-C-Bindungswinkel für PMe_3 und $P(CF_3)_3$ praktisch gleich sind (100°).

Die 13 C-Resonanzspektren sind wegen der vielfältigen Kopplungsmöglichkeiten außerordentlich kompliziert, so daß für die richtige Zuordnung Doppelresonanzexperimente erforderlich waren. Die Daten sind in Tab. 3 mit den Ergebnissen von Burg [18] verglichen. Die $\delta_{\rm C}$ -Werte für die CF₃-Substituenten zeigen nur geringe Abhängigkeit von den weiteren Bindungspartnern des Phosphors. Gleiches gilt für die 1 J(CF)-Kopplungskonstanten, die z. B. für Me₂PCF₃ und P(CF₃)₃ praktisch identisch sind. Die größten Änderungen sind für die Kopplungskonstanten 1 J(CP) zu verzeichnen. Ihre Beträge 1 J(CP) steigen in der Reihe P(CF₃)₃ < HP(CF₃)₂ < MeP(CF₃)₂ < MeP(CF₃)₂ < Cl₂PCF₃ an.

Experimentelles

1. Allgemeine Arbeitstechnik; Darstellung der Ausgangsverbindungen

Wegen der Luft- und Feuchtigkeitsempfindlichkeit praktisch aller Substanzen wurden alle Operationen mit Hilfe einer Standard-Vakuumapparatur durchgeführt. Sämtliche Umsetzungen erfolgten in ausgeheizten Gefäßen in trockenen und entgasten Lösungsmitteln.

Für die Trennung von Substanzgemischen mit engem Siedebereich wurde ein präparativer Gaschromatograph APG 402 der Firma Hupe und Busch verwendet. Als Trennflüssigkeit diente Siliconöl DC 550 auf Chromosorb P (20%, Fa. Hupe u. Busch). Die Sauerstoffempfindlichkeit der Liganden machte eine Nachreinigung des als Trägergas verwendeten Stickstoffs erforderlich (Filterpatrone Oxisorb).

Die ¹H- und ¹⁹F-Resonanzspektren wurden mit dem Kernresonanzspektrometer T 60 der Firma Varian aufgenommen. Als innerer Standard wurde TMS bzw. CCl₃F verwendet. Die ³¹P-Spektren wurden mit Hilfe eines 90 MHz-Fourier-Transform-Gerätes WH 90 der Firma Bruker-Physik registriert (85% ige H₃PO₄ als äußerer Standard). Zur Messung der ¹³C-Spektren diente ein Varian XL-100 Spektrometer.

Die Infrarot- und Raman-Spektren der Liganden wurden mit besonderer Sorgfalt mit Hilfe der Gitterspektrometer Beckman IR 12 und Perkin-Elmer 325 bzw. dem Laser-Ramangerät Cary 82 registriert und auf der Basis einer Normalkoordinatenanalyse zugeordnet [22, 23].

Die Ausgangsverbindungen BF₃, BCl₃ und BBr₃ sind im Handel erhältlich. Zur Gewinnung von B₂H₆ diente die von Norman und Jolly [24] beschriebene Umsetzung von NaBH₄ mit H₃PO₄. Dimethylborbromid Me₂BBr wurde nach dem von Paetzold und Hansen [25] angegebenen Verfahren aus BBr₃ und SnMe₄ dargestellt; Trimethylboran wurde nach einer Vorschrift von Brown [26] synthetisiert.

Die für die Darstellung der Liganden benötigten Ausgangsverbindungen Me_2PH [27], Me_2PNMe_2 [28], Me_2PSiMe_3 [29], Me_2PPMe_2 [30], Me_2PHgCl [31], $Me_2AsSiMe_3$ [32], $Me_2AsSnMe_3$ [33], $(CF_3)_2PH$ [34], $P_2(CF_3)_4$ [35], $(CF_3)_2PSnMe_3$ [36], $Hg[P(CF_3)_2]_2$ [37] wurden nach Literaturvorschriften, z. T. unter Abwandlung der Verfahren, gewonnen.

2. Darstellung der Liganden $Me_nE(CF_3)_{3-n}$ (E = P, As, Sb; n = 0-3)

Die Endglieder EMe₃ und E(CF₃)₃ der drei Reihen wurden nach Literaturvorschriften dargestellt: PMe₃ [38], P(CF₃)₃ [39], AsMe₃ [40], As(CF₃)₃ [41], SbMe₃ [40], Sb(CF₃)₃ [42]. Gleiches gilt für die Zwischenglieder MeAs(CF₃)₂ [43], Me₂SbCF₃ [43] und MeSb(CF₃)₂ [44].

Für die Gewinnung der Zwischenglieder Me₂PCF₃, MeP(CF₃)₂ und Me₂AsCF₃ erschienen die bekannten Syntheseverfahren [43, 44] für größere Produktmengen wenig geeignet. Es wurde daher systematisch nach besseren Methoden gesucht. Hier werden allerdings nur die alternativen Synthesewege beschrieben, die mit den Literaturverfahren gleichwertig oder ihnen überlegen sind.

Me₂PCF₃. Als alternative Möglichkeiten zur Darstellung dieses Phosphans wurden die Spaltungsreaktionen von Me₂PNMe₂, Me₂PSiMe₃, Me₂PHgCl, Me₂PPMe₂ und Me₂PH mit CF₃I untersucht. Keines der Verfahren reicht bezüglich der Ausbeute an die Literaturmethode [43] heran. Allerdings ergeben sich im Fall der Spaltung von P₂Me₄ mit CF₃I Vorteile bei der Isolierung der gewünschten Verbindung aus dem Produktgemisch.

In eine an der Hochvakuumapparatur unter Vakuum ausgeheizte und anschließend mit trockenem Stickstoff gefüllte Ampulle von 50 cm³ Volumen werden unter N₂ 1,4 g (11,5 mmol) P₂Me₄ einpipettiert. Das Reaktionsgefäß wird unter Kühlung auf —196°C evakuiert und mit 3 g (15,3 mmol) CF₃I beschickt. Nach dem Abschmelzen wird die Ampulle langsam auf Raumtemperatur gebracht. Dabei bildet sich sofort ein weißer Feststoff. Nach einer Reaktionszeit von 24 Stunden bei 25°C wird die Ampulle geöffnet, der flüchtige Anteil abkondensiert und einer fraktionierten Kondensation unterworfen. Ausbeute an Me₂PCF₃: 1,5 mmol (13% d. Th.). Die Natur des als Hauptmenge gebildeten Feststoffes wurde bisher nicht geklärt.

MeP(CF₃)₂. Außer dem Literaturverfahren [43] wurden folgende Reaktionen näher untersucht:

$$P_2(CF_3)_4 + CH_3I$$

 $Hg[P(CF_3)_2]_2 + CH_3I$
 $Me_3SnP(CF_3)_2 + CH_3I$
 $(CF_3)_2PI + SnMe_4$.

Hier wird nur das erstgenannte Verfahren beschrieben, da die übrigen keine Vorteile gegenüber der Literaturmethode bringen.

3.9 g (11,5 mmol) $P_2(CF_3)_4$ werden zusammen mit 1,7 g (11,5 mmol) CH_3I in ein Bombenrohr ($V = 50 \text{ cm}^3$) kondensiert und unter Vakuum abgeschmolzen. Die Ampulle wird 30 Stunden auf $140-150\,^{\circ}\text{C}$ erhitzt, unter Vakuum geöffnet und der Umsetzungsgrad durch NMR-Messung bestimmt. Die Rohausbeute an MeP(CF_3)₂ beträgt nach dieser Zeit etwa 30%. Eine Erhöhung durch längere Reaktionszeiten bei $140\,^{\circ}\text{C}$ erscheint möglich. Die Abtrennung des Phosphans aus dem Reaktionsgemisch CH_3I , MeP(CF_3)₂, (CF_3)₂PI und $P_2(CF_3)_4$ ist nach Bindung von CH_3I als Phosphoniumsalz ohne Schwierigkeiten durch fraktionierte Kondensation möglich. Ausbeute an MeP(CF_3)₂: 3,2 mmol (28% d. Th.).

 Me_2AsCF_3 . Dieses Arsan ist durch Spaltung mit CF_3I aus drei verschiedenen Me_2AsX -Verbindungen in etwa gleich günstigen Verfahren zugänglich.

a) Me₂AsSiMe₃ + CF₃I: 1,0 g (5,6 mmol) Me₂AsSiMe₃ werden mit 1,1 g (5,6 mmol) CF₃I in einer zugeschmolzenen Glasampulle miteinander umgesetzt. Beim Erwärmen des Gemisches auf Raum-

temperatur bildet sich ein weißer Feststoff. Nach einer Reaktionszeit von 48 Stunden bei 25°C werden die flüchtigen Anteile abgezogen und durch fraktionierte Kondensation getrennt. Me₂AsCF₃ wird in einer Ausbeute von 40% erhalten. Da das Produktgemisch noch Me₂AsSiMe₃ enthält, läßt sich die Ausbeute durch Verlängerung der Reaktionszeit und/oder Erhöhung der Umsetzungstemperatur weiter steigern.

- b) $Me_2AsSnMe_3 + CF_3I$: 3,4 g (12,7 mmol) $Me_2AsSnMe_3$ und 2,5 g (12,7 mmol) CF_3I ergeben bei den unter a) beschriebenen Bedingungen das Arsan Me_2AsCF_3 in einer Ausbeute von 45%. Auch diese Umsetzung läßt sich weiter optimieren.
- c) Me₂AsAsMe₂ + CF₃I: 1,51 g (7,2 mmol) Me₂AsAsMe₂ und 1,4 g (7,2 mmol) CF₃I liefern nach dem unter a) beschriebenen Verfahren bei 50°C in 5 Stunden Me₂AsCF₃ in einer Ausbeute von 78%. Als weitere Komponenten werden im Reaktionsgemisch Me₂AsI und die Ausgangsverbindungen Me₄As₂ und CF₃I nachgewiesen.
- 3. Darstellung der Additionsverbindungen MenE(CF3)3-n · BX3

Alle Reaktionen dieses Typs werden in Kernresonanzröhrchen unter Verwendung von Benzol als Lösungsmittel durchgeführt. Die zur Reaktion eingesetzten Mengen wurden auf der Grundlage des idealen Gasgesetzes durch Volumen-Druck-Messung bei Raumtemperatur bestimmt und nacheinander in das NMR-Röhrchen einkondensiert (V = 25 cm³, p zwischen 40 und 114 Torr). Zusätzlich wurden Tetramethylsilan und CCl₃F als interne Standardsubstanzen sowie das jeweilige Lösungsmittel eingebracht. Das Röhrchen wurde unter Vakuum abgeschmolzen und der NMR-Messung zugeführt. Die Tabellen 1 und 2 enthalten die gemessenen Daten und Informationen über die Adduktbildung.

Wir danken der Deutschen Forschungsgemeinschaft und dem Fonds der Chemie für die Unterstützung dieser Untersuchungen.

Literatur

- [1] Mitteilung XVI: J. GROBE u. R. RAU, J. Organomet. Chem. 157, 281 (1978).
- [2] J. GROBE u. N. SHEPPARD, Z. Naturforsch. B 23, 901 (1968).
- [3] J. Grobe, J. E. Helgerud u. H. Stierand, Z. anorg. allg. Chem. 371, 123 (1969).
- [4] J. GROBE u. W. MOHR, J. Fluorine Chem. 8, 145, 341 (1976).
- [5] J. GROBE u. R. RAU, J. Fluorine Chem. 11, 265, 291 (1978).
- [6] W. A. G. GRAHAM, Inorg. Chem. 7, 315 (1968).
- [7] R. A. Brown u. G. R. Dobson, Inorg. Chim. Acta 6, 65 (1972).
- [8] C. Barbeau u. J. Turcotte, Can. J. Chem. 54, 1603 (1976).
- [9] D. P. N. SATCHEL u. R. S. SATCHEL, Chem. Rev. 69, 251 (1969).
- [10] W. R. Cullen, G. B. Deacon u. J. H. S. Green, Can. J. Chem. 43, 3193 (1965).
- [11] A. H. COWLEY u. J. L. MILLS, J. Amer. Chem. Soc. 91, 2911 (1969).
- [12] J. GROBE u. U. MÖLLER, Z. Naturforsch. B 26, 639 (1971).
- [13] A. B. Burg, J. Chem. Educat. 37, 482 (1960), (weiter Zitate dort).
- [14] T. D. COYLE u. F. G. A. STONE, J. Amer. Chem. Soc. 83, 4138 (1961).
- [15] A. B. Burg, Rec. Chem. Progr. 15, 159 (1954).
- [16] R. G. Pearson, Science 151, 172 (1966); J. Chem. Educat. 45, 581, 643 (1968).
- [17] R. W. PARRY u. T. C. Bissot, J. Amer. Chem. Soc. 78, 1524 (1956).
- [18] A. B. Burg, Inorg. Nucl. Chem. Lett. 13, 199 (1977), (weiter Zitate dort).
- [19] H. A. Bent, J. Chem. Phys. 33, 1258 (1960).
- [20] H. A. Bent, J. Chem. Educat. 37, 616 (1960).
- [21] H. A. Bent, Chem. Rev. 61, 275 (1961).
- [22] R. DEMUTH, J. APEL u. J. GROBE, Spectrochim. Acta A 34, 357 (1978).
- [23] R. Demuth, J. Apel u. J. Grobe, Spectrochim. Acta A 34, 361 (1978).
- [24] W. L. Jolly u. A. D. Norman, Inorg. Synth. Vol. 11, 124 (1968).

- [25] P. J. Paetzold u. H. J. Hansen, Z. anorg. allg. Chem. 345, 85 (1966).
- [26] H. C. Brown, J. Amer. Chem. Soc. 67, 374 (1945).
- [27] G. W. PARSHALL, Inorg. Synth. 11, 157 (1968).
- [28] A. B. Burg u. P. J. Slota, J. Amer. Chem. Soc. 80, 1107 (1958).
- [29] J. E. Burne u. C. R. Russ, J. Organomet. Chem. 22, 357 (1970).
- [30] L. MAIER, J. Inorg. Nucl. Chem. 24, 275 (1962).
- [31] G. Fritz u. G. Poppenburg, Z. anorg. allg. Chem. 331, 147 (1964).
- [32] G. Fritz u. H. Schäfer, Z. anorg. allg. Chem. 406, 167 (1974).
- [33] H. SCHUMANN, H. KÖPF u. M. SCHMIDT, J. Organomet. Chem. 2, 159 (1964).
- [34] R. G. CAVELL u. R. C. DOBBIE, J. Chem. Soc. A 1967, 1308.
- [35] G. R. A. Brandt, H. J. Emeléus u. R. N. Haszeldine, J. Chem. Soc. 1952, 2552.
- [36] S. Ansari u. J. Grobe, Z. Naturforsch. B 30, 531 (1975).
- [37] J. GROBE u. R. DEMUTH, Angew. Chem. 84, 1153 (1972).
- [38] K. D. Crosbie u. G. M. Sheldrick, J. Inorg. Nucl. Chem. 31, 3684 (1969).
- [39] F. W. BENNETT, H. J. EMELÉUS u. R. N. HASZELDINE, J. Chem. Soc. 1953, 1565.
- [40] L. H. Long u. J. F. Sackman, Res. Correspondence 8, 23 (1955).
- [41] G. O. DOAK u. L. D. FREEDMAN, Organic Compounds of Arsenic, Antimony and Bismuth, Interscience, New York 1970.
- [42] J. W. Dale, H. J. Emeléus, R. N. Haszeldine u. J. H. Moss, J. Chem. Soc. 1957, 3708.
- [43] R. N. HASZELDINE u. B. O. WEST, J. Chem. Soc. 1956, 3631.
- [44] R. N. HASZELDINE u. B. O. WEST, J. Chem. Soc. 1957, 3880.

Bei der Redaktion eingegangen am 3. November 1978.

Anschr. d. Verf.: Dr. J. Apel und Prof. Dr. J. Grobe, Eduard-Zintl-Inst. d. TH, Hochschulstr. 4, D-6100 Darmstadt